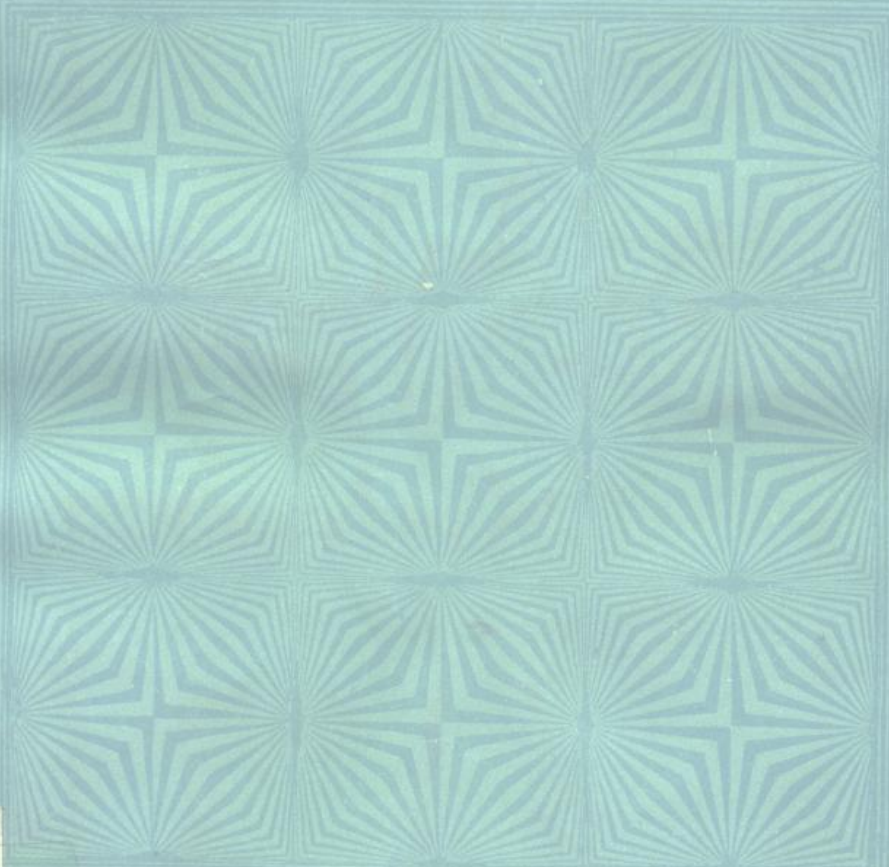


# 近代物理学

(下册)

• 甄长萌



北京师范大学出版社

本书是作者在原子物理的教学过程中，为使教材现代化和加强培养学生能力而编写的一部教材。全书在普通物理范围内，以狭义相对论和量子论为基础，较详细、系统地讲述了原子、原子核、粒子物理以及分子、激光和固体等内容。全书共十九章，分上、下两册，下册包括后八章。本书每章都有较多的练习题、典型例题和习题，并附有答案。语言通俗易懂，有启发性，便于自学。

## 近 代 物 理 学

JINDAI WULIXUE

(下册)

甄长荫 编

\*

北京师范学院出版社出版

(北京阜外花园村)

新华书店首都发行所发行

机械工业出版社印刷厂印装

\*

开本787×1096 1/32 印张 11.25 字数 250千字

1987年6月第一版 1988年3月第二次印刷

印数 3201—9200

统一书号7427·35 定价2.75元

# 目 录

## 第三篇 原子核物理

<b>第十二章 原子核的基本性质</b> .....	1
§ 12.1 原子核的电荷和质量 .....	1
§ 12.2 原子核的成分和大小 .....	5
§ 12.3 原子核的自旋和磁矩 .....	8
* § 12.4 原子核的其它性质 .....	12
§ 12.5 原子核的结合能 .....	15
例题 .....	19
习题 .....	23
<b>第十三章 原子核的放射性衰变</b> .....	25
§ 13.1 放射性的一般特征 .....	25
* § 13.2 放射性的探测简介 .....	27
§ 13.3 放射性衰变规律 .....	29
§ 13.4 位移定则 放射系 .....	35
§ 13.5 $\alpha$ 衰变 .....	37
§ 13.6 $\beta$ 衰变 .....	47
§ 13.7 $\gamma$ 衰变和内转换 .....	63
§ 13.8 放射性同位素应用简介 .....	71
例题 .....	73
习题 .....	79
<b>第十四章 原子核反应</b> .....	86
§ 14.1 引言 .....	86
§ 14.2 核反应中的能量 .....	93

§ 14.3 核反应机制 .....	99
§ 14.4 核反应的作用 .....	108
例题 .....	112
习题 .....	120
<b>第十五章 核力和核结构模型 .....</b>	<b>123</b>
* § 15.1 原子核的质子-中子结构 .....	123
§ 15.2 核力 .....	126
§ 15.3 原子核的液滴模型 结合能半经验公式 .....	133
§ 15.4 原子核的壳层模型 .....	137
* § 15.5 原子核的集体运动(综合) 模型的概念 .....	148
例题 .....	150
习题 .....	157
<b>第十六章 原子核的裂变与聚变 .....</b>	<b>159</b>
§ 16.1 原子核的裂变 .....	159
§ 16.2 裂变理论 .....	166
§ 16.3 链式反应 .....	171
§ 16.4 裂变能的应用 .....	173
§ 16.5 原子核的聚变 .....	177
§ 16.6 可控热核反应 .....	181
* § 16.7 元素的起源 .....	183
例题 .....	187
习题 .....	190

## 第四篇 粒子物理

<b>第十七章 粒子的种类和性质 .....</b>	<b>193</b>
* § 17.1 研究粒子的实验手段 .....	194
§ 17.2 粒子的种类 .....	202
§ 17.3 粒子的性质 .....	220
例题 .....	226

习题	236
<b>第十八章 相互作用、对称性和守恒定律</b>	238
§ 18.1 粒子间的相互作用	238
§ 18.2 动力学方程、对称性和守恒定律	248
§ 18.3 粒子物理中的守恒定律	250
例题	274
习题	279
<b>第十九章 强子结构</b>	282
§ 19.1 强子结构的早期研究	282
§ 19.2 强子结构的夸克（层子）模型	289
§ 19.3 夸克——部分子模型	300
* § 19.4 量子色动力学简介	306
* § 19.5 规范场概念及其应用	312
* § 19.6 粒子物理学展望	320
例题	326
习题	329
<b>下册单数习题答案</b>	330
<b>参考书目</b>	333
<b>附录一 基本物理常数表</b>	334
<b>附录二 能量换算因子表</b>	335
<b>附录三 同位素表</b>	336
<b>附录四 四个放射系表</b>	347
<b>附录五 粒子简表</b>	350

注：标\*号章节为机动内容。

## 第三篇 原子核物理

### 第十二章 原子核的基本性质

原子核的基本性质通常是指原子核作为整体时所具有的静态性质，即电荷、质量、半径、角动量（核自旋）、磁矩、电四极矩、宇称和统计性等。在本章我们暂不涉及原子核内部结构和变化问题，主要从实验角度出发，有关这些性质的内在联系、理论根据等，则是以后各章要阐明的。

#### § 12.1 原子核的电荷和质量

##### 一、原子核的电荷

实验给出，原子核的电荷  $q = +Ze$ ，其中  $e$  为电子电荷数值， $Z$  称为电荷数，亦即以前我们所说的原子序数。电荷数  $Z$  是原子核性质的主要标志之一。

这一结论是同前面对原子的了解一致的。因为原子核外有  $Z$  个带负电的电子，而整个原子又呈电中性，所以原子核上必然带  $Z$  倍电子电荷的正电。

核电荷的测定方法很多，象前面讲过的  $\alpha$  粒子散射实验就可以测量  $Z$ ，有了  $Z$  核电荷  $q$  就可得到。此处着重介绍两种方法。

###### 1. 化学方法

主要依据元素的化学性质和按质量的顺序来确定该元素

在周期表上的位置，从而确定  $Z$ 。一般说来，当  $Z \leq 13$  时，化学方法是准确的。

## 2. 标识伦琴射线法

在 § 7.5 我们已介绍过， $K_{\alpha}$  线的波数公式可以近似的表示为

$$\begin{aligned}\tilde{\nu}_{K_{\alpha}} &= R(Z - 1)^2 \left( \frac{1}{1^2} - \frac{1}{2^2} \right) \\ &= \frac{3}{4} R(Z - 1)^2\end{aligned}\quad (1)$$

由实验测出  $\tilde{\nu}_{K_{\alpha}}$  之后就可以用上式求出电荷数  $Z$ （原子序数），这些实验数据还是比较准确的。莫塞莱曾经系统地测定了元素周期表中许多元素的核电荷数。

由于  $Z \leq 13$  的元素一般不产生伦琴射线，故该法只适用于  $Z \geq 13$  的情况。

两种方法结合，就可测得所有原子核的电荷。

## 二、原子核的质量

原子核的质量  $M_N$  近似地等于该元素的原子质量  $M_A$  减去该元素所有核外电子的质量  $Zm_e$ ，即

$$M_N = M_A - Zm_e \quad (2)$$

然而一般情况下原子核是处于  $Z$  个电子的包围中，呈原子状态而存在，很难直接测量核的质量。另一方面电子的质量是已知的。因此，我们今后将用原子核所对应的原子质量代替核质量。这样不仅能直接引用实验数据，计算结果能同实验比较，而且计算也简便很多。

原子质量  $M_A$  常表示成原子量与原子质量单位 ( $u$ ) 的乘积，即

$$M_A = \text{原子量} \times \text{原子质量单位} \quad (3)$$

原子质量单位( $u$ )定义为碳-12原子的质量 $1.992678 \times 10^{-26}$ 千克的 $1/12$ ，又称为碳单位，即

$$\begin{aligned}1 \text{ 原子质量单位} &= 1.992678 \times 10^{-26} \times \frac{1}{12} \\&= 1.660566 \times 10^{-27} \text{ (千克)} \quad (4)\end{aligned}$$

原子量最接近的整数我们称为质量数以 $A$ 表示，例如，氢原子的原子量为 $1.007825$ ，则它的质量数 $A = 1$ 。又钾的原子量为 $38.96371$ ，则它的质量数 $A = 39$ 。

质量数 $A$ 同电荷数 $Z$ 一样，也是原子核特性的标志之一。以后我们可以看到，如果已知一个原子核的 $A$ 、 $Z$ 则该核的所有性质基本上了解。为此一般用符号 ${}^A_Z X$ 表示一个原子核，其中 $X$ 为该核的元素符号， $A$ 、 $Z$ 分别为质量数和电荷数。例如上例中氢 $Z = 1$ ， $A = 1$ ，钾 $Z = 19$ ， $A = 39$ ，分别可表示为 ${}_1^1 H$ ， ${}_{19}^{39} K$ 。通常把具有相同质子数 $Z$ 和相同中子数 $N$  ( $N = A - Z$ ) (见§12.2) 的一类原子核称为一种核素，因此符号 ${}^A_Z X$ 也就是核素的符号。

有了核的表示符号，我们就可以介绍几个原子核中常用的概念。

**同位素：**  $Z$ 相同而 $A$ 不同的核素称为同位素。例如 ${}^{16} O$ ， ${}^{17} O$ ， ${}^{18} O$ ， ${}^{19} O$ 互为同位素。同位素又分稳定的和放射性的两种，对氧而言， ${}^{16} O$ 和 ${}^{18} O$ 为放射性的，其余为稳定的。

**同量异位素：**  $A$ 相同而 $Z$ 不同的核素称为同量异位素，例如氩 ${}^{36} Ar$ 和钙 ${}^{40} Ca$ 。

**同中子素：** 中子数相同，而质子数不同的核素，称为同中子素，例如 ${}^{30} Si$ 和 ${}^{32} S$ 就是同中子素。

**同质异能素：** 如果原子核的 $A$ 、 $Z$ 皆相同而核的内部能量不同则称为同质异能素，表示同质异能素的方法是在质量

数后加上一个  $m$ , 以表示原子核处在能量比较高的状态。例如  $^{10}_\text{Ar}$  就表示  $^{10}_\text{Ar}$  的同质异能素。

如前所述, 直接测量原子核质量是困难的, 故只有利用它的某些性质。

测量原子质量常用的仪器是质谱仪。它的基本原理如下: 首先让原子电离, 然后在电场中加速以获得一定动能, 接着在磁场中偏转, 由偏转的曲率半径的大小可求得离子的质量。图12.1是一种质谱仪的原理图。

图12.1是一种质谱仪的原理图。 $D$ 为一扁平的真空盒, 它放在一磁铁间隙内。磁铁产生的均匀磁场, 其磁感应强度  $B$  垂直于真空盒平面。真空盒内主要有离子源  $K$ 、加速电极  $E_1$ 、 $E_2$  和接收电极  $A$ 。由离子源产生的被测离子, 通过加速电极的狭缝  $S_1$  后, 获得动能  $qV$ ,  $q$  是离子的电荷,  $V$  是加速电极  $E_1$  和  $E_2$  之间的电势差。于是, 质量为  $M$  的离子通过加速电极后所具有的速度  $v$  满足下列关系

$$\frac{1}{2}Mv^2 = qV \quad (5)$$

因为  $v \perp B$  故离子受洛伦兹力作半径为  $\rho$  的圆轨道运动, 最后通过狭缝  $S_2$  到达接收电极, 于是有

$$\frac{Mv^2}{\rho} = qvB \quad (6)$$

(5)、(6) 式联立得

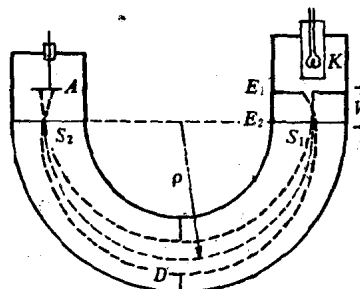


图12.1 质谱仪原理图

$$M = \frac{\rho^2 q B^2}{2V} \quad (7)$$

由(7)式当 $B$ 、 $V$ 、 $q$ 已知后，只要测出 $\rho$ 即可得 $M$ 。有了离子质量 $M$ ，就可找出原子核所对应的原子质量。

由(7)式可知，在一定 $\rho$ 、 $q$ 、 $B$ 的条件下， $V$ 和 $m$ 成反比关系，即

$$V_1 : V_2 = m_2 : m_1 \quad (8)$$

实际测量中一般不是测出(7)式中所有物理量，而是采用与已知质量的原子（如碳-12）作比较的方法，测出待测原子的质量。这种方法是先测出已知质量原子的电流峰值的电压 $V_1$ ，然后在同样条件下测出待测原子的电流峰值的电压 $V_2$ ，已知原子的质量为 $m_1$ 。待测原子的质量即可由(8)式算出。

## § 12.2 原子核的成分和大小

### 一、原子核的成分

目前已经确认质量数 $A$ ，电荷数为 $Z$ 的原子核是由 $Z$ 个质子和 $A - Z$ 个中子( $N = A - Z$ )组成。这个结论的得出历史上还有一段复杂的过程，稍后一些我们在§ 15.1中研究原子核的结构时再详细介绍。

中子和质子统称核子，即原子核由 $A$ 个核子组成。质子就是氢原子核 ${}^1\text{H}$ ( $Z = 1$ ,  $A = 1$ , 亦可用符号 $\text{p}$ 表示)，中子是不带电的，质量数 $A = 1$ 的中性粒子 ${}^1\text{n}$ ，它们的质量分别为：

$$M_{\text{H}} = 1.007825 \text{ 原子质量单位}$$

$$M_{\text{n}} = 1.008665 \text{ 原子质量单位}$$

质量数 $A$ 其实反映了原子核内的核子数目，电荷数 $Z$ 则

反映核内的质子数目，故  $A - Z$  为中子数目，因此前面我们强调的  $A$ 、 $Z$  可以基本上决定所有原子核的性质，其实是反映了原子核的各种性质都取决于原子核的组成成分。

## 二、原子核的大小

原子核的大小就目前各种有关问题概括起来是指：核内电荷分布范围；核的质量分布范围；核力的作用范围。通过各方面的实验发现上述三个范围都可以代表原子核的大小，且可用一个公式来表示，即

$$R = r_0 A^{1/3} \quad (1)$$

其中  $R$  为核的半径， $r_0 = 1.20 \times 10^{-15}$  米 = 1.20 费米，为常数。 $A$  为质量数。

原子核很小，目前还无法直接测量，所以所有表示原子核大小的数据都是通过实验间接测得的。目前应用较多的测量原子核半径的方法有两种。

### 1. 利用原子核与粒子间的核力作用

所谓核力是一种核子间很强的吸引力，力程很短，详细情况也待核结构一章 § 15.2 再介绍，由这种方法测得

$$r_0 = (1.25 \sim 1.45) \times 10^{-15} \text{ 米}$$

$$= (1.25 \sim 1.45) \text{ 费米} \quad 1 \text{ 费米} = 10^{-15} \text{ 米}$$

### 2. 利用原子核与粒子间的库仑场作用

由此测得  $r_0 = (1.10 \sim 1.30) \times 10^{-15} \text{ 米} = (1.10 \sim 1.30)$  费米

今后，具体计算我们采用  $r_0 = 1.20 \times 10^{-15}$  米。由以上不同方法测量之结果可以看出三个范围虽都代表核的大小，但仔细分析起来是有区别的。由此可窥探到一些关于原子核结构的线索。

各种实验结果表明，原子核在一般情况下是接近球形

的，故通常用核半径来描述原子核的大小。由实验得知，在原子核内物质密度不是处处相等的。图12.2是通过测量核内电荷分布得到的核内质量分布的大致情况。在核的中间部分密度基本上是一个常数 $\rho_0$ ，在核的表层密度由 $\rho_0$ 逐渐下降到零。所谓核半径，就是指由核中心至密度降为 $\rho_0$ 的0.5处的距离。

### 练习1 半径为

$^{189}\text{Os}$ 核的 $\frac{1}{3}$ 的稳定核是什么核？

解 因为 $R \propto A^{1/3}$ ，所以

$$\frac{1}{3} = \frac{R_A}{R_{\text{Os}}} = \left( \frac{A}{A_{\text{Os}}} \right)^{1/3} = \left( \frac{A}{189} \right)^{1/3}$$

故  $A = \frac{189}{3^3} = \frac{189}{27} = 7$

由同位素表知该稳定核为 $^7\text{Li}$ 。

由核半径公式可知其体积为

$$V = \frac{4}{3}\pi R^3 = \frac{4}{3}\pi r_0^3 A = V_0 A \quad (2)$$

$V_0$ 为一个核子的体积，从而知 $r_0$ 代表一个核子的半径。由体积和质量可求出密度 $\rho$ 为

$$\rho = \frac{M}{V} = \frac{M}{\frac{4}{3}\pi R^3} = \frac{M}{\frac{4}{3}\pi r_0^3 A} = \frac{3}{4\pi r_0^3 \frac{A}{M}} = \frac{3}{4\pi r_0^3 N}$$

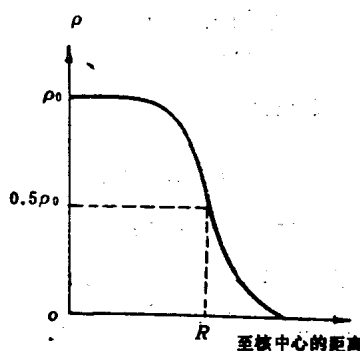


图12.2 原子核的质量密度分布

$$\rho \approx 10^{17} \text{ 千克}/\text{米}^3 = 10^{14} \text{ 吨}/\text{米}^3 \quad (3)$$

式中  $N$  为阿伏加德罗常数。由 (3) 式可知,  $\rho$  为常数, 且非常之大(水的密度为  $\rho_水 = 1 \text{ 克}/\text{厘米}^3 = 1 \text{ 吨}/\text{米}^3$ , 铁的密度  $\rho_{铁} = 7.0 \text{ 吨}/\text{米}^3$ )。宇宙间具有这样大密度的物体是存在的, 例如中子星。

### § 12.3 原子核的自旋和磁矩

#### 一、原子核的自旋

在 § 5.3 我们研究过钠原子的  $D$  双线  $\tilde{\nu} = 3^2P_{1/2, 3/2} \rightarrow 3^2S_{1/2}$ , 稍后于 1928 年又有人用更高分辨本领的摄谱仪和具有特殊构造, 能发出极细谱线的光源研究  $D$  双线。结果发现  $D_1$ 、 $D_2$  分别分裂为两条,  $D_1$  分裂的两条  $\Delta\lambda_1 = 0.023 \text{ 埃}$ ,  $D_2$  分裂的两条  $\Delta\lambda_2 = 0.021 \text{ 埃}$ , 这两个间距约为  $D_1$  和  $D_2$  的间距  $\Delta\lambda = 6 \text{ 埃}$  的  $1/300$ , 称为超精细结构。

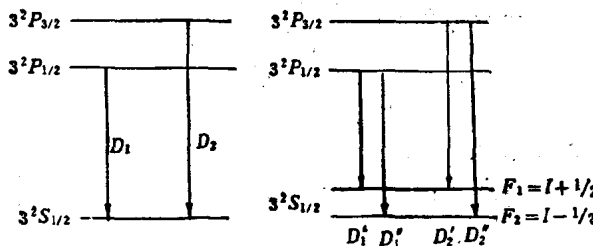


图 12.3 钠光谱的超精细结构

超精细结构的出现说明在原子内部除电子的轨道与自旋磁矩外, 尚有另一个磁矩, 引起精细结构能级再分裂从而形成光谱的超精细结构。1924 年泡利提出原子核也存在自旋。但要注意按照习惯原子核的自旋是指核子的轨道角动量和核

子的自旋角动量的矢量和的总角动量，核自旋的引入可以解释光谱的超精细结构。

超精细结构的形成可以认为是核自旋  $I$  与核外电子的总磁矩（对应总角动量  $J$ ）在核处产生之磁场间相互作用的结果。

设  $L$  为电子轨道量子数， $S$  为电子自旋量子数。 $I$  为核自旋量子数， $F$  为原子总角动量量子数， $J$  为电子总角动量量子数，则

$$J = L + S \quad (1)$$

$$F = J + I, \quad F = J - I, \quad J + I - 1,$$

$$\dots |J - I| \begin{cases} J > I, \text{ 共 } (2J + 1) \text{ 个} \\ J < I, \text{ 共 } (2J + 1) \text{ 个} \end{cases} \quad (2)$$

对应之原子总角动量值为

$$|F| = \sqrt{F(F + 1)} \hbar \quad (3)$$

例如：Na 的基态  $3^2S_{1/2}$ ， $L = 0$ ， $S = \frac{1}{2}$ ，故  $J = \frac{1}{2}$ ，

所以  $F = I \pm 1/2$ ，原来能级一分为二。

按照超精细结构理论， $3^2P_{1/2}$  和  $3^2P_{3/2}$  亦应分裂，但因它们离原子核较远，受核自旋影响不如  $3^2S_{1/2}$  大，所以裂距远比基态  $3^2S_{1/2}$  小，观察不到，故不考虑。因此  $D$  双线的再分裂可解释为由于原子核的自旋的存在而引起基态  $3^2S_{1/2}$  分裂所致。（详细分析可知  $3^2P_{1/2,3/2}$ ，分裂后，再按选择定则  $\Delta F = 0, \pm 1$ ， $\Delta J = 0, \pm 1$  知超精细结构之双线是由几条线合在一起的。）

原子核自旋的测定分两种情况。

1.  $I < J$

根据角动量耦合理论知此时  $F$  取值（即能级分裂个数）

为  $2I + 1$  个，因此只要由超精细结构理论求出能级个数即可测出核自旋  $I$ 。这种方法对  $I$  小的核比较适用，尤其是当能级不分裂时，就可以定出  $I = 0$ 。那么如何判断是否  $I < J$  呢？这可由原子状态符号中的  $J$  值和能级分裂个数来判断，若能级个数不等于  $2J + 1$ ，就必然属于  $I < J$  的情况（因为在  $I > J$  时， $F$  值取  $2J + 1$  个）。

## 2. $J < I$

此时  $F$  取值为  $2J + 1$  个与  $I$  无关，在这种情况下，可以利用超精细结构各谱线的相对强度测定  $I$ 。

由于超精细结构的谱线的强度正比于  $2F + 1$ ，因而从相对强度之比可以定出  $I$ 。事实上，设  $R_1$  和  $R_2$  分别是谱线  $F_1 = I + J$  和  $F_2 = I + J - 1$  的相对强度，则有

$$\begin{aligned} \frac{R_1}{R_2} &= \frac{2F_1 + 1}{2F_2 + 2} = \frac{2(I + J) + 1}{2(I + J - 1) + 1} \\ &= \frac{2(I + J) + 1}{2(I + J) - 1} \end{aligned} \quad (4)$$

**练习 2** 钠  $D$  双线的超精细结构对  $3^2S_{1/2}$ ，由于  $2J + 1 = 2$  对应能级分裂数，故可判定  $I > J$ ，不能用第一种方法求  $I$ 。实验上测得  $D_1$  线（或  $D_2$  线）的两条超精细结构谱线的相对强度之比为  $5 : 3$ ，求钠基态的核自旋  $I$ 。

**解** 根据  $\frac{2(I + J) + 1}{2(I + J) - 1} = \frac{5}{3}$  可知  $I + J = 2$ 。已知  $J = \frac{1}{2}$ ，所以得  $I = 3/2$ ，即钠基态的核自旋  $I = 3/2$ 。

实验给出质量数  $A$  为偶数的原子核，当质子数和中子数皆为偶数（偶—偶核） $I$  为零；质子数和中子数皆为奇数（奇—奇核） $I$  为整数；质量数  $A$  为奇数的原子核（奇  $A$  核）

$I$  为半整数。且  $I_p = I_n = \frac{1}{2}$  即质子和中子的核自旋皆为  $1/2$ ，

这些实验结果的解释我们也留在以后。

## 二、原子核的磁矩

原子核中的质子是带电的，它的运动会产生磁场，所以原子核也具有磁矩。以后会了解中子也对原子核的磁矩有贡献。

在 § 5.2 我们学过电子的磁矩是以玻尔磁子  $\mu_B = \frac{e\hbar}{2m_e}$  为单位，式中  $m_e$  为电子静止质量。由于核子的质量远大于电子的质量，所以我们以核磁子

$$\mu_N = \frac{e\hbar}{2M} = 5.0508 \times 10^{-27} (\text{焦耳}\cdot\text{特斯拉}^{-1})$$

为测量核磁矩的单位，式中  $M$  为质子质量，比电子质量大 1836 倍，亦即原子核磁矩  $\mu_I$  比原子磁矩  $\mu_e$  要小得多。

磁矩  $\mu_I$  与角动量  $I$  是相互联系的，同核外电子情况类比可写成

$$\begin{aligned} \mu_I &= g \frac{e}{2M} |I| = g \sqrt{I(I+1)} \hbar \frac{e}{2M} \\ &= g \sqrt{I(I+1)} \frac{e\hbar}{2M} \\ &= g \sqrt{I(I+1)} \mu_N \end{aligned} \quad (5)$$

其中  $g$  为核的  $g$  因子，要实验测定，不能通过公式计算，

$$\mu_N = \frac{e\hbar}{2M} \text{ 为核磁子。}$$

要想由超精细结构求出核磁矩，就需要计算核与电子相互作用的能量，这有很大困难，不可能得到精确的结果。要比较精确的测定核磁矩，一般采用“核磁共振法”，它的基

本原理是在斯特恩-革拉赫实验基础上加以改进即可，因装置本身比较复杂不再介绍。但要指出，实验上给出的原子核的磁矩不是式(5)的值，而是磁矩在外磁场方向投影的最大值，即

$$\mu = g I \mu_N \quad (6)$$

一般数据表给出的磁矩值也是这个值。实验结果给出：

$$\text{质子磁矩 } \mu_p = +2.79278 \mu_N$$

$$\text{中子磁矩 } \mu_n = -1.9131 \mu_N$$

上述结果同我们预计的结果是矛盾的，原来设想磁矩应为一个核磁子，而中子应该没有磁矩（因不带电）。由此可见质子和中子这两种“基本粒子”是有较复杂的结构的。

#### • § 12.4 原子核的其它性质

以下几种性质今后也要应用，但由于有的计算过繁，有的要应用理论物理的知识，所以我们只做简单介绍。

##### 一、原子核的电四极矩

核电荷 $Ze$ 从整体上描述了原子核的电性质。它确定了原子核的质子数目和元素的化学性质，但不能反映核内电荷分布情况以及与此有关的核性质。为此，有必要对原子核的电四极矩进行讨论。

由电动力学知，当一带电体的电荷是球形对称分布时，在核外离球心 $R$ 处的电势为

$$\phi = \frac{1}{4\pi\epsilon_0} \frac{e}{R} \quad (1)$$

(1)式中 $e$ 为带电体之电荷，若电荷分布为非球形对称的，它所产生的电势一般可表达为

$$\phi = a_1 R^{-1} + a_2 R^{-2} + a_3 R^{-3} + \dots \quad (2)$$